

VIGILANCIA SINÓPTICA DE SUDAMÉRICA

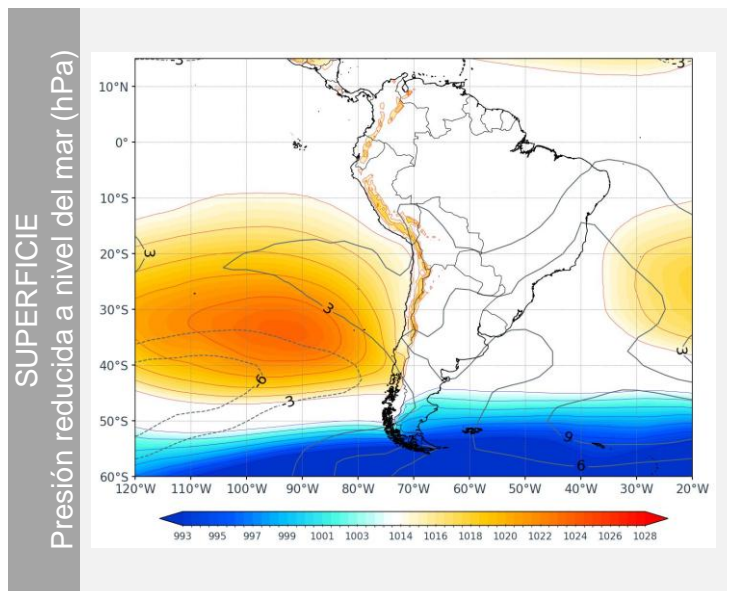
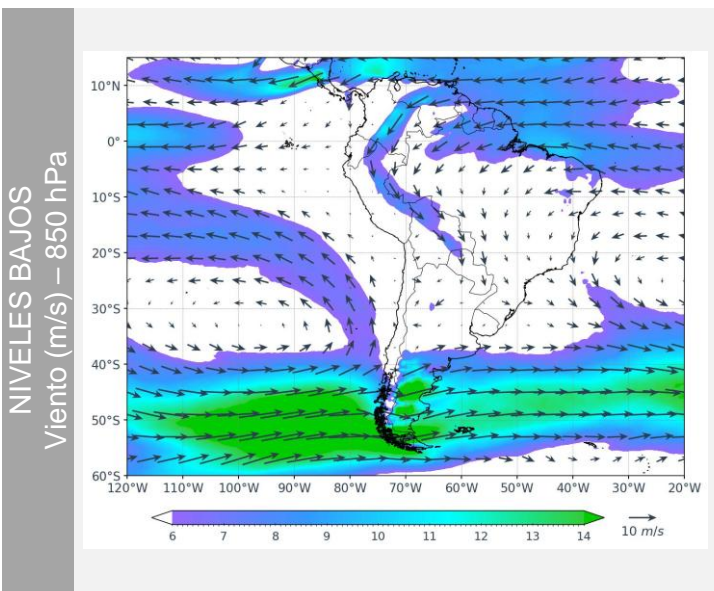
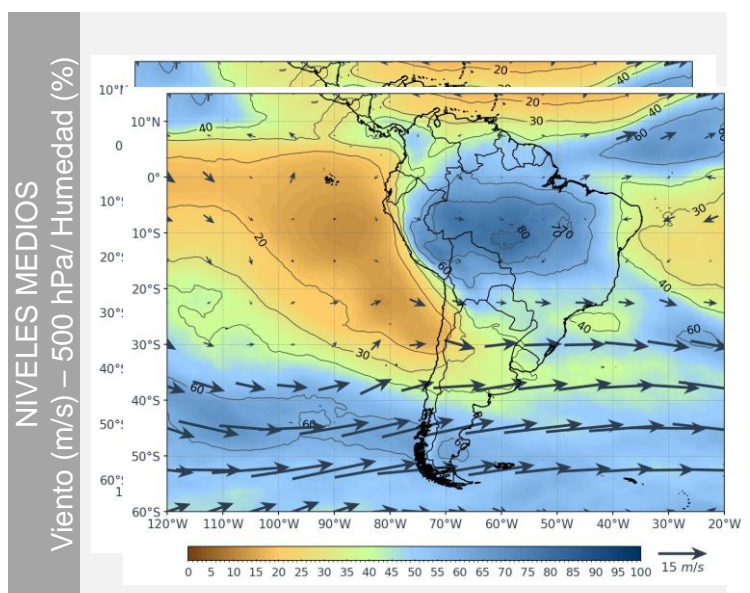
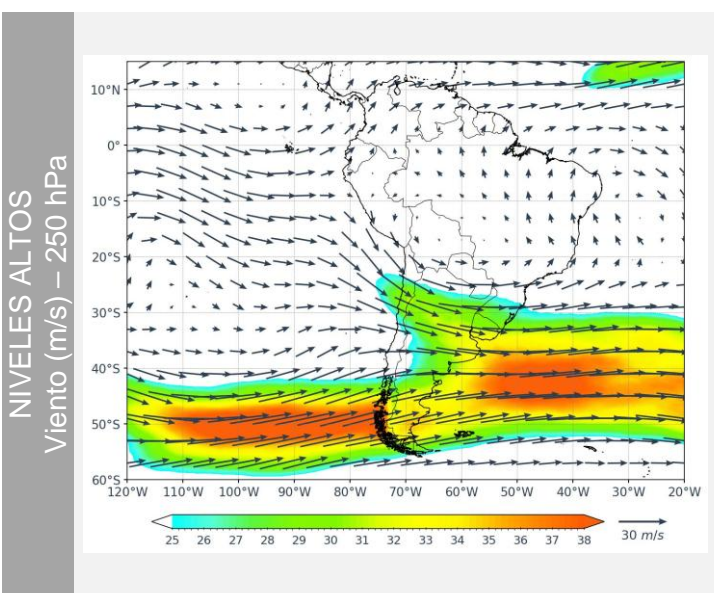


**INFORME
DICIEMBRE 2025**

**PRÓXIMO INFORME
A ACTUALIZAR
ENERO 2026**



ANÁLISIS MENSUAL



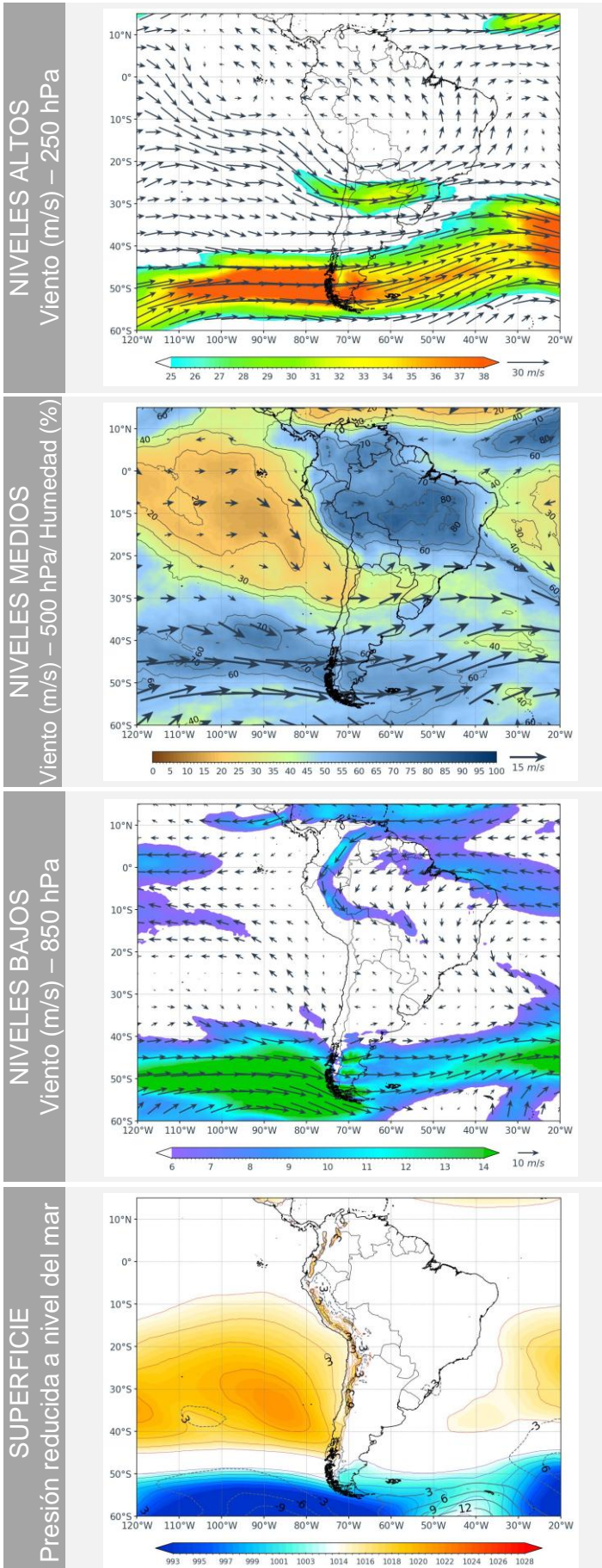
En niveles altos, la Alta de Bolivia (AB) presentó una configuración débil, sin una estructura bien consolidada durante el periodo analizado. Desde aproximadamente los 15°S hacia latitudes mayores, predominaron vientos del oeste con componente zonal, apreciándose una vaguada débil frente a la costa de Perú y norte de Chile, mientras que hacia el Pacífico oriental se mantuvo un flujo más anticiclónico. Asimismo, el Jet Subtropical (JS) se observó bien definido sobre el sur de Chile y Argentina, con velocidades cercanas a 35–38 m/s.

En niveles medios se observó un alto contenido de humedad (60–90%) sobre el centro-norte de Sudamérica, con un núcleo bien marcado sobre Brasil, extendiéndose hacia Perú, Bolivia y la Amazonía occidental, favorecido por flujos del este. En contraste, sobre el Pacífico oriental frente a Perú y Chile predominó una masa de aire más seca. Al sur de los 25°S dominó el flujo del oeste, propio de latitudes medias, con un incremento de vientos sobre el sur del continente. Este patrón generó condiciones más inestables en el flanco sur de la Amazonía, mientras que sobre el centro-sur de Chile y Argentina prevalecieron condiciones más estables.

En niveles bajos, predominó el flujo del este sobre el norte de Sudamérica, favoreciendo el transporte de humedad hacia la Amazonía. Asimismo, se observó el Jet de Bajo Nivel, con vientos de 10–14 m/s canalizados desde Bolivia y Paraguay hacia el norte y centro de Argentina, contribuyendo al ingreso de aire cálido y húmedo. En el litoral del Pacífico suroriental (Perú-Chile) persistió el flujo del sureste, mientras que al sur de los 40°S dominaron vientos del oeste, propios de la circulación de latitudes medias. En superficie, el APS presentó su núcleo aproximadamente entre 30°S–35°S y 95°W–105°W, ubicándose ligeramente más al norte y próximo al continente respecto a su climatología mensual. Por otro lado, el AAS mostró una intensidad menor, con un gradiente anticiclónico más débil y una influencia reducida sobre el centro-este de Sudamérica.

ANÁLISIS

Primera decadiaria



En niveles altos, predominó un flujo del oeste con marcada componente zonal desde aproximadamente 10°S hacia latitudes mayores. Se observó un incremento de vientos sobre el sur de Chile y Argentina, correspondiente al Jet Subtropical (JS), con velocidades cercanas a 35-38 m/s. Asimismo, se identificó una vaguada frente a la costa de Perú, extendiéndose hacia el norte de Chile, favoreciendo condiciones de mayor inestabilidad en altura en ese sector. Sobre el Pacífico oriental subtropical, dominó un patrón de dorsal.

En niveles medios, predominó un flujo del oeste desde los 20°S hacia latitudes mayores, con un incremento de vientos sobre el sur de Chile y Argentina, propio de la circulación de latitudes medias. Se identificó una vaguada entre el norte de Argentina, Paraguay y sur de Brasil, que favoreció mayor inestabilidad en esa zona. En contraste, sobre el Pacífico oriental se observó una dorsal, vinculada a condiciones más estables entre 30°S-40°S. Respecto a la humedad, se apreciaron valores elevados ($\geq 60\%$) sobre el centro-norte de Sudamérica, especialmente en Perú, Brasil, Bolivia y Ecuador, mientras que al sur del continente dominaron condiciones más secas ($\leq 40\%$), asociadas a la influencia de la circulación de latitudes medias.

En superficie, durante la primera decadiaria, el APS presentó un núcleo cercano a 1024-1026 hPa ubicado entre 35°S-40°S y 85°W-95°W, ligeramente más al norte y próximo al continente respecto a su climatología, reforzando la estabilidad frente a la costa central de Chile y el sur de Perú. En contraste, el AAS se mantuvo débil y con núcleo poco definido, con limitada influencia anticiclónica sobre el centro-este de Sudamérica. En 850 hPa, predominó el flujo del este sobre el norte de Sudamérica, favoreciendo el aporte de humedad hacia la Amazonía, mientras que en el centro-norte de Argentina y Paraguay se observó un JBN moderado (10-14 m/s). En el Pacífico suroriental persistió el flujo del sureste, y al sur de los 40°S dominaron vientos del oeste propios de latitudes medias..

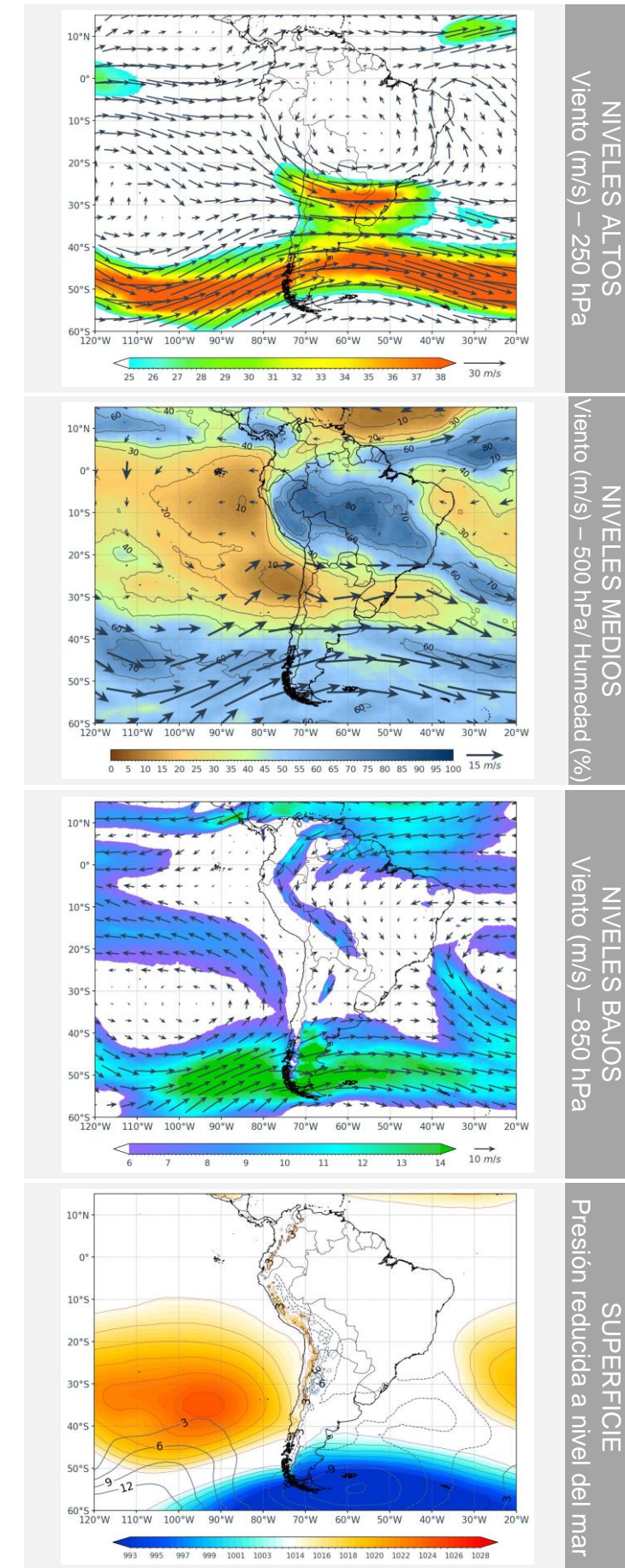
ANÁLISIS

Segunda decadiaria

En niveles altos, se observó una Alta de Bolivia (AB) con configuración débil y poco definida, extendida sobre el centro de Brasil, aportando divergencia e inestabilidad principalmente sobre sectores de Perú, Brasil y Bolivia. Al sur de los 10°S, prevalecieron flujos del oeste con una marcada componente zonal, influenciados por la presencia de una onda en altura que generó una dorsal sobre norte de Chile, norte de Argentina y sur de Brasil, favoreciendo condiciones más estables en esos sectores. Por otro lado, el Jet Subtropical (JS) se presentó acoplado al ramal norte del Jet Polar (JP), extendiéndose de oeste a este entre 120°W y 40°W y mostrando velocidades máximas cercanas a 38 m/s, consistente con la intensificación del flujo en latitudes medias durante la decadiaria.

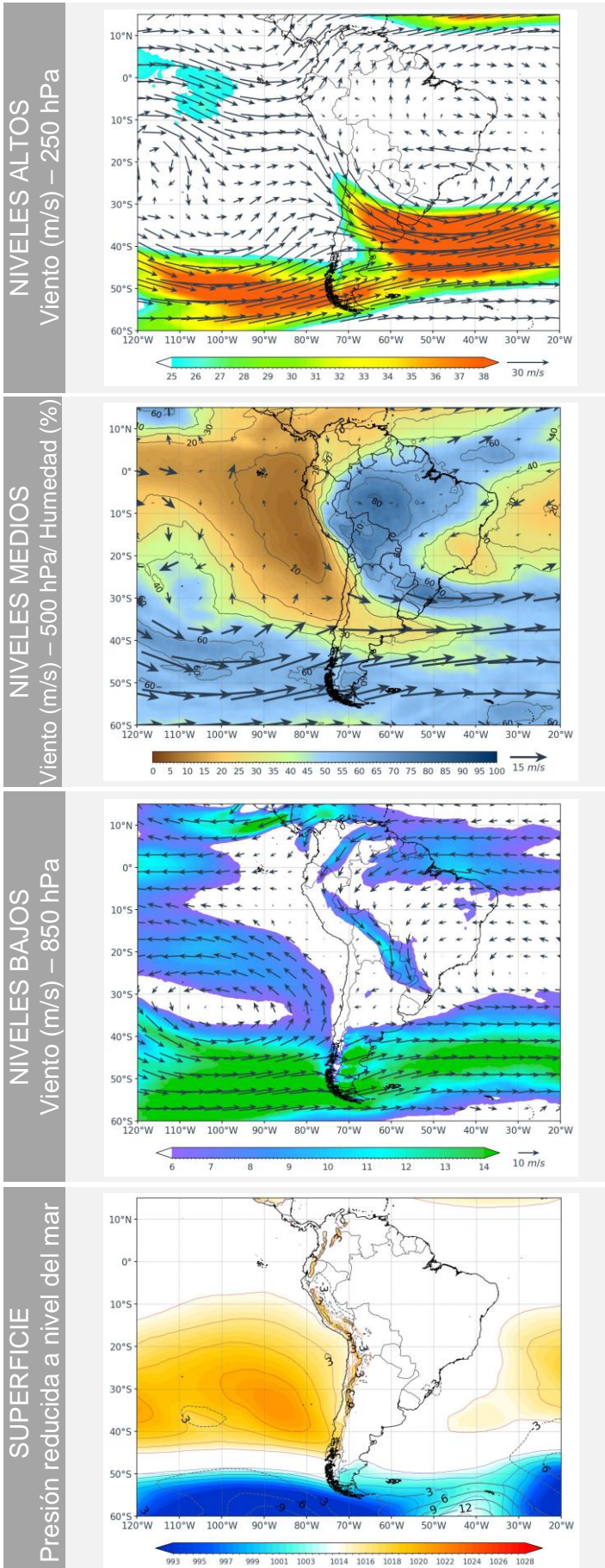
En niveles medios, predominó un alto contenido de humedad (60–80%) sobre el centro-norte de Sudamérica, principalmente en Perú, Brasil, Bolivia y Ecuador, asociado a flujos del este que favorecieron el transporte de humedad amazónica. En contraste, se observó ingreso de aire más seco sobre el extremo norte del continente. Al sur de los 20–25°S, dominaron flujos del oeste vinculados a la circulación de latitudes medias y a la presencia de una onda reflejada desde niveles altos. Asimismo, se identificaron patrones anticiclónicos sobre el Pacífico oriental y al este de Brasil, que favorecieron el ingreso de aire seco ($\leq 40\%$ de humedad) sobre el centro-norte de Chile, norte de Argentina, Paraguay, Uruguay y sur-este de Brasil.

En superficie, el APS mostró un núcleo de 1026–1028 hPa ubicado aproximadamente entre 22°S–27°S y 90°W–95°W, más al norte y más próximo al continente respecto a su climatología, reforzando la estabilidad frente a las costas de Perú y norte de Chile. En contraste, el AAS se presentó más débil que lo normal, con un gradiente anticiclónico menos marcado sobre el Atlántico suroeste y sin presencia de altas migratorias destacadas. En niveles bajos (850 hPa) predominó el flujo del este sobre el norte de Sudamérica, aportando humedad hacia la Amazonía de Perú, Colombia y Brasil, mientras que sobre el Pacífico suroriental se mantuvo un flujo del sureste acorde con la circulación estacional. Hacia el sur del continente, los vientos presentaron componente oeste-suroeste, asociados a la circulación de latitudes medias, sin evidencia de un JBN claramente organizado durante esta decadiaria.



ANÁLISIS

Tercera decadiaria



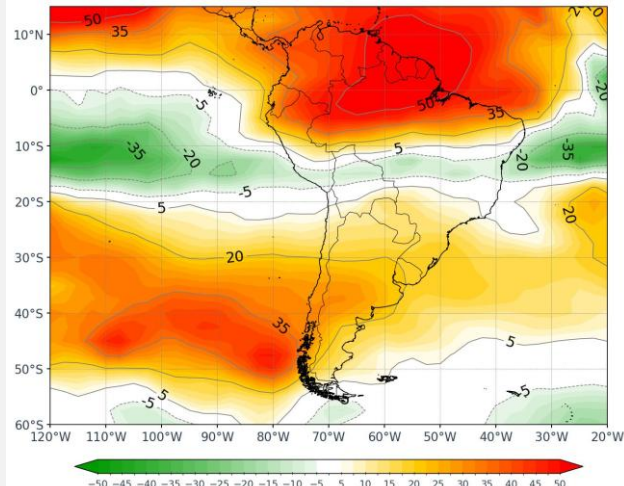
En niveles altos, la AB presentó una configuración débil y poco definida, con su circulación centrada principalmente sobre el centro de Brasil. Se identificó la presencia de una Vaguada Ciclónica en Niveles Altos (VCAN) sobre el noreste de Brasil, favoreciendo curvatura ciclónica e inestabilidad en dicho sector. Asimismo, predominó el dominio de flujos del oeste desde aproximadamente 15°S hacia latitudes mayores, con marcada componente zonal. Por otro lado, el JS se presentó acoplado al JP, conformando una zona bien definida de vientos de alta velocidad, con valores máximos cercanos a 38 m/s.

En niveles medios, sobre el norte de Sudamérica predominaron flujos del este, favoreciendo el transporte de humedad hacia la Amazonía de Perú, Colombia, Ecuador y Brasil, con valores elevados de humedad relativa. Al sur de los 20°S, dominaron flujos del oeste asociados a la circulación de latitudes medias, generando condiciones relativamente más secas sobre Bolivia, Paraguay y el centro-oeste de Brasil. Asimismo, se identificó una vaguada en niveles medios extendiéndose desde el centro-norte de Chile hacia Bolivia, lo que incrementó la curvatura ciclónica y reforzó la inestabilidad dinámica sobre el sur de Perú, altiplano boliviano y norte de Chile, especialmente en interacción con el gradiente de humedad existente.

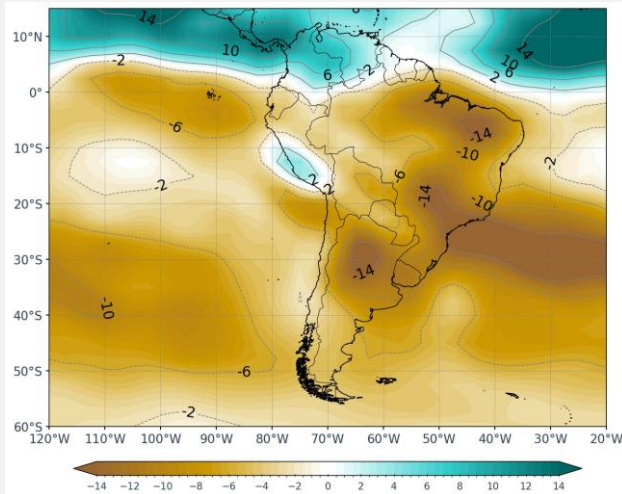
En superficie, el APS presentó un núcleo de 1026-1028 hPa ubicado aproximadamente entre 20°S-25°S y 85°W-90°W, es decir, más al norte y cercano al continente respecto a su climatología, reforzando la estabilidad frente a las costas de Perú y el norte de Chile. La AAS se mostró más débil de lo habitual, con un gradiente menos marcado en el Atlántico suroeste y sin presencia de altas migratorias destacadas sobre Sudamérica central. En niveles bajos (850 hPa), persistió el transporte de humedad desde el Atlántico tropical hacia la Amazonía, mientras que sobre el centro-norte de Argentina y Paraguay se configuró el JBN, con velocidades cercanas a 10-12 m/s. En el Pacífico suroriental predominó el flujo del sureste, acorde con la circulación estacional.

ANÁLISIS MENSUAL

ANOMALÍA DE RADIACIÓN DE ONDA LARGA



ANOMALÍA DE AGUA PRECIPITABLE



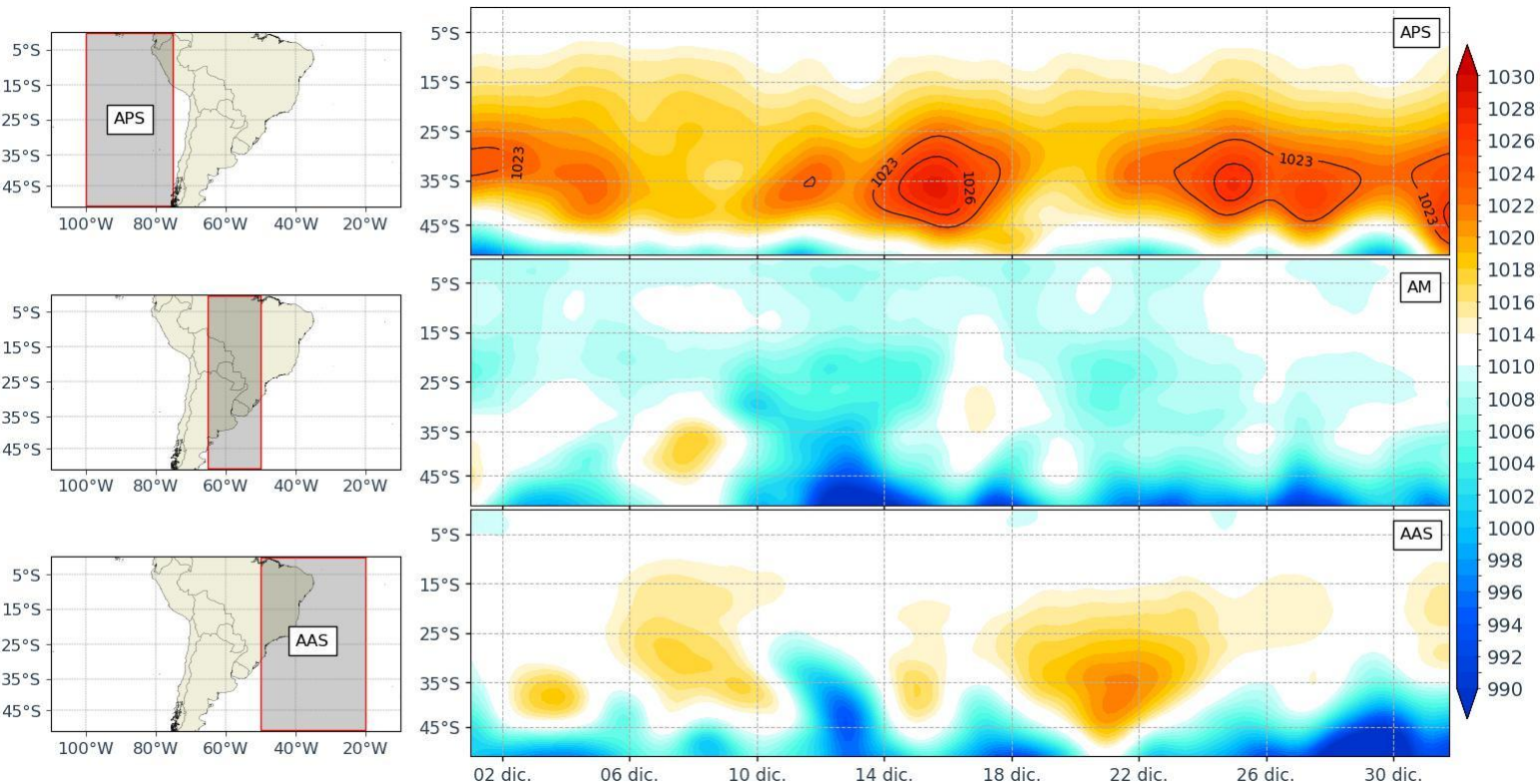
Durante diciembre de 2025, la anomalía de radiación de onda larga saliente (OLR) presentó valores positivos sobre el norte de Sudamérica, principalmente en Colombia, Venezuela, las Guayanas y el norte de Brasil, indicando menor nubosidad y convección suprimida. En contraste, se observaron anomalías negativas sobre el Pacífico oriental, frente a Ecuador y el norte de Perú, asociadas a mayor actividad convectiva oceánica.

Por su parte, la anomalía de agua precipitable (PWAT) mostró déficits generalizados sobre el centro y este de Brasil, extendiéndose hacia Bolivia, Paraguay y el norte de Argentina, lo que evidencia un menor contenido de humedad atmosférica. En el extremo norte de Sudamérica se registraron excesos de humedad, mientras que sobre Perú predominaron condiciones cercanas a lo normal, con variaciones locales.

En conjunto, el patrón OLR-PWAT sugiere condiciones más secas y estables en gran parte del interior de Sudamérica y convección más activa principalmente sobre el Pacífico tropical oriental.

ANÁLISIS TEMPORAL

Presión reducida al nivel del mar



Durante diciembre de 2025, el APS mostró una intensificación destacada entre el 12 y 18 de diciembre, con un máximo alrededor del día 15, y un segundo periodo moderado entre el 24 y 27 de diciembre.

Las altas migratorias (AM) permanecieron débiles durante todo el mes, con presiones por debajo del promedio y sin episodios relevantes de fortalecimiento.

El AAS presentó períodos localizados moderados entre el 21 y 26 de diciembre, mientras que en el resto del periodo predominó un comportamiento cercano o ligeramente inferior a lo normal.

Director de Meteorología y Evaluación Ambiental Atmosférica
Grinia Avalos Roldan
gavalos@senamhi.gob.pe

Subdirector de Predicción Meteorológica
Piero Rivas Quispe
privas@senamhi.gob.pe

Elaboración y redacción:
Janet Huaman Vargas
jhuamanv@senamhi.gob.pe

Para mayor información sobre los avisos meteorológicos, visite este link :
<http://www.senamhi.gob.pe/avisos>

Próxima publicación: FEBRERO 2026



Servicio Nacional de Meteorología e Hidrología del Perú - SENAMHI
Jr. Cahuide 785, Jesús María
Lima - Perú



Central telefónica: 614-1414
Unidad Funcional de Atención al Ciudadano:
470-2867
Pronóstico: 614-1407 o 265-8798
(Atención las 24 horas vía WhatsApp)
Consultas y sugerencias:
pronosticador@senamhi.gob.pe